

## МОДЕЛЬ КИНЕТИКИ ХИМИЧЕСКИХ РЕАКЦИЙ В ПЛАМЕНАХ ХЛОРНОЙ КИСЛОТЫ С АММИАКОМ

H. E. Ермолин

Институт теоретической и прикладной механики СО РАН,  
630090 Новосибирск

Продолжено начатое в [1, 2] изучение химических процессов в пламенах хлорной кислоты с аммиаком. Предложены новые каналы протекания реакции. На основе экспериментальных данных по химической структуре пламени перхлората аммония и пламен в смесях  $O_2/NH_3/Ag$ ,  $NH_3/HClO_4/H_2O/Ag$  оценены константы скоростей малоизученных стадий, уточнен кинетический механизм [1, 2]. Обсуждаются результаты расчета по химической структуре пламени в смеси  $NH_3/HClO_4/H_2O/Ag$  и пламени перхлората аммония. Проводится упрощение кинетического механизма.

В предложенном для описания химической структуры пламени перхлората аммония (ПХА) кинетическом механизме [1, 2] важную роль играет реакция разветвления цепи  $NH_2 + O_2 = HNO + OH$ . Константа скорости этой реакции принята в [1, 2] на основе оценочных данных [3]. Полученные экспериментальные результаты по химической структуре пламен  $O_2/NH_3/Ag$  [4, 5], а также значительный разброс литературных данных по константе скорости  $k_*$ , стимулировали изучение реакции  $NH_2 + O_2 \rightarrow$  продукт [6–8]. Цель настоящей работы — уточнение с учетом последних данных по константе скорости  $k_*$  кинетического механизма, предложенного в [1, 2].

### Кинетический механизм

Обзор литературных данных по величине  $k_*$  представлен в [7]. Теоретически константа скорости изучалась в [6], где получено  $k_* = 4,72 \times 10^{11} T^{-1,052} \exp(-27500/RT)$  л/(моль · с). В [4] на основе экспериментальных данных по воспламенению смеси  $O_2/NH_3/Ag$  за отраженными ударными волнами и неполного (15-стадийного) кинетического механизма в высокотемпературной области ( $1400 < T < 2160$  К) дается  $k_* = 3 \cdot 10^9 \exp(-15000/RT)$  л/(моль · с). В [7] на основе экспериментальных данных [4] и 103-стадийного кинетического механизма [8] получены следующие соотношения:  $k_* = 3 \cdot 10^8 \exp(-15000/RT)$  л/(моль · с) при  $1400 < T < 2160$  К и  $k_* = 3 \cdot 10^6$  л/(моль · с) при  $900 < T < 1400$  К, дающие хорошее совпадение расчетных и экспериментальных концентрационных профилей [5]. В высокотемпературной области выявлена слабая зависимость результатов расчета от величины  $k_*$ . В [2, 9] приведены экспериментальные и расчетные данные по температуре и концентрационным профилям стабильных компонентов в пламени ПХА, предварительно подогретого до 533 К. Горение протекало при давлении  $p = 58800$  Н/м<sup>2</sup>, скорость горения конденсированной фазы  $\sim 3,3 \cdot 10^{-4}$  м/с. В [10] представлены экспериментальные данные по температуре и концентрационным профилям стабильных компонентов в пламени  $NH_3/HClO_4/H_2O/Ag$ , стабилизированном на плоской горелке при  $p = 2452$  Н/м<sup>2</sup> и массовой скорости горения 0,02496 кг/(м<sup>2</sup> · с). Используемые в [1, 2, 4, 6, 7] величины  $k_*$  характеризуются значительным разбросом, поэтому представляет интерес

оценка допустимых вариаций константы скорости на основе экспериментальных данных [2, 4, 5, 9, 10] и кинетических механизмов [2, 8].

При расчете химической структуры пламени в смеси  $O_2/NH_3/Ar$  значение  $k_*$  наиболее сильно влияет на профили  $NH_2$ ,  $NO$ ,  $HNO$  (рис. 1). На рис. 1 и далее  $\alpha_i = p_i/p$  — мольная доля  $i$ -го компонента. Из рис. 1 видно, что хорошее совпадение расчета и эксперимента достигается при  $k_* \leq 10^8$  л/(моль · с). Расчет по экспериментальным данным [4] дает  $k_* \leq 5,7 \cdot 10^7$  л/(моль · с) в области  $1400 < T < 2160$  К. При  $900 < T < 1400$  К изменение значения  $k_* = 3 \cdot 10^6$  л/(моль · с) в два раза приводит к отклонению расчетного периода индукции от экспериментального [4] в  $\sim 3$  раза.

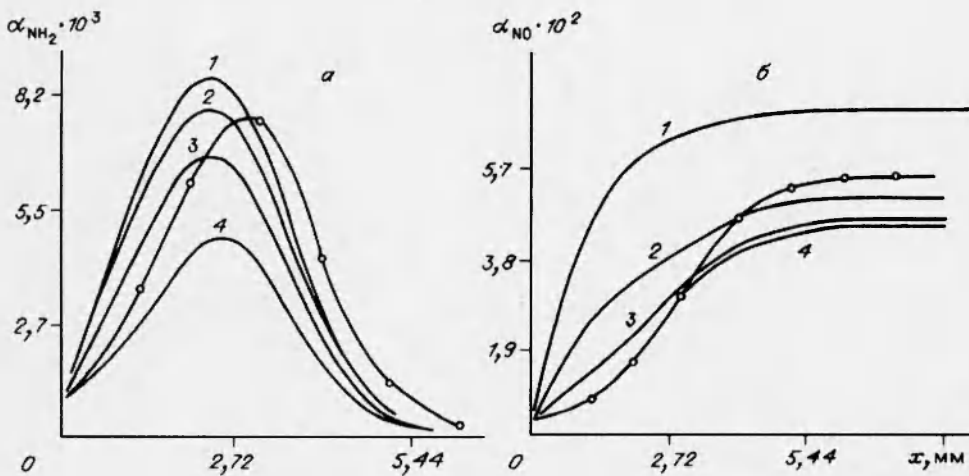


Рис. 1. Расчетные профили  $NH_2$  (а) и  $NO$  (б) в зависимости от  $k_*$ .  
 $k_*$ , л/(моль · с):  $3 \cdot 10^8 \exp(-15000/RT)$  (1),  $10^8$  (2),  $3 \cdot 10^8$  (3),  $10^9$  (4). Светлые точки — эксперимент [5].

Расчетные профили  $NH_3$ ,  $N_2$  в пламени ПХА, полученные на основе кинетического механизма [2], приведены с экспериментальными данными [9] на рис. 2. Здесь хорошее совпадение концентрационных профилей получается при  $k_* > 10^9$  л/(моль · с). Но уже при  $k_* > 3 \cdot 10^8$  л/(моль · с) расчетные значения температуры, как это следует из сравнения, превышают экспериментальные [9].

Влияние  $k_*$  на распределение стабильных компонентов в пламени  $NH_3/HClO_4/H_2O/Ar$  меньше, чем в пламени ПХА вследствие малых ( $\sim 0,006$ – $0,035$ ) мольных долей  $O_2$ . Так, удовлетворительное совпадение расчетных профилей  $NH_3$  и  $HClO_4$  с экспериментальными получается при  $k_* \leq 3 \times 10^9$  л/(моль · с). Вариация  $k_*$  больше всего сказывается на профилях  $O_2$  и  $NO$ . Для них удовлетворительное совпадение с экспериментом достигается при  $k_* = (1\text{--}3) \cdot 10^9$  л/(моль · с).

Таким образом, значения  $k_*$ , приемлемые для описания пламен хлор-

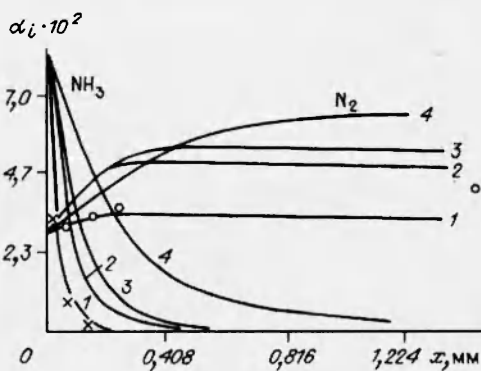


Рис. 2. Расчетные профили  $NH_3$  и  $N_2$  в пламени ПХА.  
 $k_*$ , л/(моль · с):  $10^9 T^{0.5}$  (1),  $10^9$  (2),  $5 \cdot 10^8$  (3),  $10^5$  (4). Светлые точки и крестики — эксперимент [9].

ной кислоты с аммиаком, оказываются завышенными для пламен в смесях  $O_2/NH_3/Ar$ . Причиной этого могут быть как погрешность экспериментальных данных [2, 4, 5, 9, 10], так и неполнота кинетических механизмов [2, 8]. Новые пути протекания реакции в пламенах хлорной кислоты с аммиаком рассматриваются ниже с учетом низкотемпературных значений  $k_*$  [7].

Таблица 1

Реакция	$A$	$n$	$E_j$ , кал/моль	$\Delta H$ , ккал/моль
1. $ClOH + NO_2 = HNO_2 + ClO$	$10^{10}$	0	23500	20000
2. $ClOH + NO = HNO_2 + Cl$	$10^{10}$	0	13760	11688
3. $NH_3 + ClO = NH_2O + HCl$	$10^8$	0	0	-19600
4. $NH_3 + OCLO = NH_2O + ClOH$	$10^8$	0	0	-20200
5. $NH_2O + ClO = HNO + ClOH$	$10^{10}$	0	0	-37600
6. $OCLO + NH_2 = NH_2O + ClO$	$10^8$	0	0	-27200
7. $NH_2O + ClO = NOCl + H_2O$	$10^{11}$	0	0	-84900
8. $NH_2O + ClO = HCl + HNO_2$	$10^{11}$	0	0	-79600
9. $NH_2O + O_2 = HNO + HO_2$	$10^{11}$	0	26340	13500
10. $NH_2O + O_2 = NO_2 + H_2O$	$10^{10}$	0	0	-65100
11. $NH_2 + HO_2 = NH_2O + OH$	$10^{11}$	0	0	-21600
12. $NH_2O + OH = HNO + H_2O$	$10^{11}$	0	0	-59400
13. $NO + NH_2O = HNO + HNO$	$10^8$	0	24000	10400
14. $HClO_4 + NH_3 = NH_2O + H_2O + OCLO$	$10^7$	0	0	-11300
15. $HCl + NO_2 = Cl + HNO_2$	$10^{11}$	0	30000	25568
16. $ClOH + NH_2 = NH_2O + HCl$	$10^9$	0	0	-26600
17. $ClOH + HNO = HNO_2 + HCl$	$10^9$	0	0	-41900
18. $HClO_4 + NH_2 = HO_2 + NH_2O + ClO$	$10^{10}$	0	0	-2400
19. $HClO_4 + NH_2 = OCLO + OH + NH_2O$	$10^{10}$	0	0	3400
20. $HClO_4 + HNO = HO_2 + ClO + HNO_2$	$10^{10}$	0	0	-17565
21. $NH_2 + NO_2 = HNO_2 + NH$	$10^{11}$	0	18000	14056
22. $OCLO + HNO = HNO_2 + ClO$	$10^9$	0	0	-42524

При мечание. Константа скорости  $j$ -й стадии в прямом направлении имеет вид  $k_j = A_j T^{n_j} \exp(-E_j/RT)$ , где размерность  $A_j$  — (л/моль) $^{N_j-1} c^{-1}$ ,  $N_j$  — порядок реакции. Константы обратных реакций рассчитываются по  $k_j$  и константе равновесия.  $\Delta H$  — тепловой эффект реакции при 1000 К.

Для пламен хлорной кислоты с аммиаком [2, 10] и кинетического механизма [2] уменьшение  $k_*$  приводит к уширению реакционной зоны, увеличению расхода  $NH_2$  по каналу  $NH_2 + NO \rightarrow N_2 + H_2O$ , что приводит к значительному расхождению расчетных и экспериментальных данных по концентрациям  $NO$  и  $N_2$ . Это косвенно указывает на наличие других каналов расходования  $NH_2$ . Для их выявления в пламенах хлорной кислоты с аммиаком исследован кинетический механизм, состоящий из 300 обратимых стадий и 33 компонентов:  $O$ ,  $O_2$ ,  $OH$ ,  $H_2O$ ,  $HO_2$ ,  $N_2$ ,  $N_2O$ ,  $HNO$ ,  $NH_3$ ,  $NH_2$ ,  $NO$ ,  $NO_2$ ,  $ClO$ ,  $OCLO$ ,  $ClO_3$ ,  $Cl$ ,  $ClOH$ ,  $HCl$ ,  $HClO_4$ ,  $NOCl$ ,  $Cl_2$ ,  $H$ ,  $N_2H$ ,  $ClOO$ ,  $NH$ ,  $N$ ,  $N_2H_2$ ,  $H_2$ ,  $H_2O_2$ ,  $Ar$ ,  $HNO_2$ ,  $NH_2O$ ,  $NH_2O_2$ . Проведенные исследования [1, 2] выявили значительное производство и определяющую роль атомов и радикалов  $Cl$ ,  $OH$ ,  $ClO$ ,  $NH_2$ ,  $HNO$ ,  $HO_2$  в пламени ПХА. Поэтому в качестве возможных рассматривались в основном стадии с участием этих частиц. Энергии активации малоизученных стадий оценивались по тепловым эффектам реакций, предэкспоненты принимались нормальными либо определялись по результатам сопоставления расчетных и экспериментальных данных. Существенные стадии и компоненты

при вариации констант малоизученных стадий отбирали по методике [1] на основе экспериментальных данных [2, 10]. В результате анализа на чувствительность выявлены представленные в табл. 1 стадии с участием частиц  $\text{HNO}_2$ ,  $\text{NH}_2\text{O}$ ,  $\text{NH}_2\text{O}_2$ , дающие вклад, превышающий 10 %, в производство компонентов.

При подсчете тепловых эффектов реакций для частиц  $\text{NH}_2\text{O}$ ,  $\text{NH}_2\text{O}_2$  использовались термодинамические данные [6]. Для принятых констант скоростей реакции с участием  $\text{HNO}_2$ ,  $\text{NH}_2\text{O}$ ,  $\text{NH}_2\text{O}_2$  оказывают заметное влияние на распределение концентрационных профилей. Однако, в силу неизученности, стадии с участием этих частиц исключены из рассмотрения. Стадии, дающие вклад, превышающий 10 %, в производство остальных компонентов, представлены в табл. 2.

Таблица 2

Реакция	<i>A</i>	<i>n</i>	<i>E</i>	Ссылка
1. $\text{ClO}_3 = \text{ClO} + \text{O}_2$	$1,7 \cdot 10^{10}$	0,5	0	[3]*
2. $\text{OCIO} + \text{NO} = \text{ClO} + \text{NO}_2$	$1,0 \cdot 10^8$	0	0	[19]
3. $\text{OCIO} + \text{Cl} = \text{ClO} + \text{ClO}$	$5,0 \cdot 10^{10}$	0	6000	[2]
4. $\text{NOCl} + \text{M} = \text{NO} + \text{Cl} + \text{M}$	$2,0 \cdot 10^{14}$	0	37700	[19]*
5. $\text{ClO} + \text{ClO} = \text{Cl}_2 + \text{O}_2$	$1,0 \cdot 10^8$	0	0	[19]*
6. $\text{ClO} + \text{O} = \text{Cl} + \text{O}_2$	$6,6 \cdot 10^{10}$	0	440	[2]
7. $\text{ClO} + \text{NO} = \text{Cl} + \text{NO}_2$	$6,78 \cdot 10^9$	0	311	[1]
8. $\text{ClO} + \text{NH}_3 = \text{NH}_2 + \text{ClOH}$	$6 \cdot 10^8$	0,5	6400	[2]
9. $\text{Cl} + \text{HO}_2 = \text{HCl} + \text{O}_2$	$1,8 \cdot 10^{10}$	0	0	[2]
10. $\text{HCl} + \text{O} = \text{OH} + \text{Cl}$	$2,3 \cdot 10^8$	0,64	900	[2]
11. $\text{OH} + \text{HCl} = \text{H}_2\text{O} + \text{Cl}$	$5,0 \cdot 10^8$	0	750	[2]
12. $\text{Cl} + \text{O}_2 + \text{M} = \text{OCIO} + \text{M}$	$8,0 \cdot 10^3$	0	5200	[19]*
13. $\text{Cl} + \text{Cl} + \text{M} = \text{Cl}_2 + \text{M}$	$7,2 \cdot 10^8$	0	-1800	[2]
14. $\text{ClOH} + \text{O} = \text{HCl} + \text{O}_2$	$1,2 \cdot 10^{11}$	0	0	[2]
15. $\text{O}_2 + \text{HNO} = \text{NO}_2 + \text{OH}$	$1,5 \cdot 10^{10}$	0	10000	[2]
16. $\text{NH}_2 + \text{O}_2 = \text{HNO} + \text{OH}$	$3,0 \cdot 10^6$	0	0	[7]
17. $\text{NO} + \text{HO}_2 = \text{NO}_2 + \text{OH}$	$2,1 \cdot 10^9$	0	480	[12]
18. $\text{O} + \text{NO}_2 = \text{NO} + \text{O}_2$	$1,0 \cdot 10^{10}$	0	600	[2]
19. $\text{HNO} + \text{HNO} = \text{H}_2\text{O} + \text{N}_2\text{O}$	$3,95 \cdot 10^9$	0	5000	[11]
20. $\text{O}_2 + \text{HNO} = \text{NO} + \text{HO}_2$	$8,0 \cdot 10^6$	0,75	3465	[12]
21. $\text{NH}_2 + \text{NO} = \text{N}_2 + \text{H}_2\text{O}$	$6,2 \cdot 10^{12}$	-1,25	0	[11]
22. $\text{ClOH} + \text{OH} = \text{ClO} + \text{H}_2\text{O}$	$1,8 \cdot 10^{10}$	0	0	[2]
23. $\text{NH}_3 + \text{Cl} = \text{NH}_2 + \text{HCl}$	$4,5 \cdot 10^8$	0,5	100	[19]
24. $\text{OH} + \text{HNO} = \text{H}_2\text{O} + \text{NO}$	$1,2 \cdot 10^8$	0,5	2000	[12]
25. $\text{HClO}_4 = \text{OH} + \text{ClO}_3$	$1,0 \cdot 10^{11}$	0	39100	[2]
26. $\text{NO} + \text{Cl}_2 = \text{Cl} + \text{NOCl}$	$2,7 \cdot 10^9$	0	19900	[2]
27. $\text{ClOH} + \text{ClO} = \text{Cl}_2 + \text{HO}_2$	$1,0 \cdot 10^8$	0	10000	[2]*
28. $\text{HClO}_4 + \text{HNO} = \text{ClO}_3 + \text{NO} + \text{H}_2\text{O}$	$1,5 \cdot 10^{10}$	0	6000	[1]*
29. $\text{NH}_2 + \text{ClO} = \text{HNO} + \text{HCl}$	$2,5 \cdot 10^9$	0	0	[2]
30. $\text{NO}_2 + \text{NO}_2 = \text{O}_2 + \text{NO} + \text{NO}$	$1,0 \cdot 10^{11}$	0	25000	[1]
31. $\text{N}_2\text{O} + \text{Cl} = \text{ClO} + \text{N}_2$	$1,2 \cdot 10^{11}$	0	33500	[2]
32. $\text{N}_2 + \text{HO}_2 = \text{NO} + \text{HNO}$	$2,7 \cdot 10^7$	0,5	41800	[19]*
33. $\text{NH}_3 + \text{OH} = \text{NH}_2 + \text{H}_2\text{O}$	$1,0 \cdot 10^8$	0,68	1100	[2]
34. $\text{HClO}_4 + \text{HNO} = \text{OCIO} + \text{NO}_2 + \text{H}_2\text{O}$	$2,0 \cdot 10^{10}$	0	6000	[2]*
35. $\text{OH} + \text{OH} = \text{H}_2\text{O} + \text{O}$	$6,0 \cdot 10^5$	1,3	0	[11]
36. $\text{NH}_2 + \text{NO}_2 = \text{N}_2\text{O} + \text{H}_2\text{O}$	$4,5 \cdot 10^8$	0	0	[12]*
37. $\text{NH}_2 + \text{HNO} = \text{NH}_3 + \text{NO}$	$5,0 \cdot 10^8$	0,5	1000	[12]
38. $\text{OH} + \text{N}_2\text{O} = \text{N}_2 + \text{HO}_2$	$2,0 \cdot 10^8$	0	10000	[12]*

## Окончание табл. 2

Реакция	<i>A</i>	<i>n</i>	<i>E</i>	Ссылка
39. $\text{N}_2\text{O} + \text{M} = \text{N}_2 + \text{O} + \text{M}$	$1,6 \cdot 10^{11}$	0	51600	[11]
40. $\text{NH}_2 + \text{NO}_2 = \text{HNO} + \text{HNO}$	$5,0 \cdot 10^9$	0	0	—
41. $\text{ClOH} + \text{HCl} = \text{H}_2\text{O} + \text{Cl}_2$	$4,0 \cdot 10^9$	0	10000	—
42. $\text{HClO}_4 + \text{NH}_2 = \text{H}_2\text{O} + \text{OCIO} + \text{HNO}$	$1,0 \cdot 10^9$	0	0	—
43. $\text{HClO}_4 + \text{NH}_2 = \text{ClOH} + \text{HNO} + \text{HO}_2$	$1,0 \cdot 10^8$	0	0	—
44. $\text{HClO}_4 + \text{NO} = \text{HO}_2 + \text{ClO} + \text{NO}_2$	$1,0 \cdot 10^{10}$	0	10000	—
45. $\text{ClOH} + \text{HNO} = \text{H}_2\text{O} + \text{NOCl}$	$3,0 \cdot 10^9$	0	0	—
46. $\text{OCIO} + \text{OCIO} = \text{ClO}_3 + \text{ClO}$	$1,8 \cdot 10^{10}$	0	18000	[20]
47. $\text{NOCl} + \text{ClO} = \text{NO}_2 + \text{Cl}_2$	$1,5 \cdot 10^9$	0	0	—
48. $\text{ClO} + \text{HNO} = \text{HCl} + \text{NO}_2$	$3,0 \cdot 10^9$	0	0	—
49. $\text{HCl} + \text{HO}_2 = \text{ClO} + \text{H}_2\text{O}$	$3,0 \cdot 10^9$	0	0	—
50. $\text{H} + \text{NO}_2 = \text{OH} + \text{NO}$	$3,47 \cdot 10^{11}$	0	1480	[12]
51. $\text{NH}_2 + \text{NO} = \text{N}_2\text{H} + \text{OH}$	$6,4 \cdot 10^{12}$	-1,25	0	[11]
52. $\text{N}_2\text{H} + \text{NO} = \text{HNO} + \text{N}_2$	$5,0 \cdot 10^{10}$	0	0	[11]
53. $\text{NH}_2 + \text{NO} = \text{N}_2 + \text{OH} + \text{H}$	$6,3 \cdot 10^{16}$	-2,5	1900	[12]
54. $\text{Cl} + \text{CLOO} = \text{ClO} + \text{ClO}$	$4,8 \cdot 10^9$	0	0	[16]
55. $\text{Cl} + \text{O}_2 + \text{M} = \text{CLOO} + \text{M}$	$9,7 \cdot 10^8$	0	0	[16]
56. $\text{ClOH} + \text{ClO} = \text{CLOO} + \text{HCl}$	$4,0 \cdot 10^7$	0	0	—
57. $\text{NH}_2 + \text{OH} = \text{H}_2\text{O} + \text{NH}$	$4,0 \cdot 10^3$	2	1000	[11]
58. $\text{NH}_2 + \text{NH}_2 = \text{NH}_3 + \text{NH}$	$5,0 \cdot 10^{10}$	0	10000	[13]
59. $\text{NH} + \text{NO} = \text{N}_2 + \text{OH}$	$1,0 \cdot 10^{10}$	0	0	[1]
60. $\text{NH} + \text{NO} = \text{N}_2 + \text{O} + \text{H}$	$2,3 \cdot 10^{10}$	0	0	[13]
61. $\text{Cl} + \text{NH}_2 = \text{HCl} + \text{NH}$	$5,0 \cdot 10^7$	0,5	0	[19]
62. $\text{OCIO} + \text{NH} = \text{ClO} + \text{HNO}$	$1,0 \cdot 10^{11}$	0	0	[1]
63. $\text{HClO}_4 + \text{NH} = \text{OH} + \text{OCIO} + \text{HNO}$	$1,0 \cdot 10^{11}$	0	0	—
64. $\text{OH} + \text{H}_2 = \text{H}_2\text{O} + \text{H}$	$1,17 \cdot 10^6$	1,3	3626	[11]
65. $\text{N} + \text{NO}_2 = \text{NO} + \text{NO}$	$1,0 \cdot 10^{11}$	0	0	[1]
66. $\text{N} + \text{N}_2\text{O} = \text{NO} + \text{N}_2$	$5,0 \cdot 10^{10}$	0	0	[14]
67. $\text{NH} + \text{OH} = \text{N} + \text{H}_2\text{O}$	$5,0 \cdot 10^8$	0,5	2000	[11]
68. $\text{NH} + \text{OH} = \text{NO} + \text{H}_2$	$1,6 \cdot 10^9$	0,6	1500	[14]
69. $\text{NH} + \text{NH}_2 = \text{NH}_3 + \text{N}$	$1,0 \cdot 10^{10}$	0	2000	[15]
70. $\text{NH} + \text{NH}_2 = \text{N}_2\text{H}_2 + \text{H}$	$5,0 \cdot 10^{10}$	0	0	[11]
71. $\text{NH}_2 + \text{NH}_2 = \text{N}_2\text{H}_2 + \text{H}_2$	$5,0 \cdot 10^8$	0	0	[11]
72. $\text{HO}_2 + \text{HO}_2 = \text{H}_2\text{O}_2 + \text{O}_2$	$2,0 \cdot 10^9$	0	0	[11]
73. $\text{H}_2\text{O}_2 + \text{M} = \text{OH} + \text{OH} + \text{M}$	$1,3 \cdot 10^{14}$	0	45500	[11]
74. $\text{H}_2\text{O}_2 + \text{OH} = \text{H}_2\text{O} + \text{HO}_2$	$1,0 \cdot 10^{10}$	0	1800	[11]
75. $\text{N}_2\text{H}_2 + \text{NO} = \text{N}_2\text{O} + \text{NH}_2$	$3,0 \cdot 10^9$	0	0	[11]
76. $\text{HCl} + \text{H} = \text{H}_2 + \text{Cl}$	$7,94 \cdot 10^9$	0	3400	[17]
77. $\text{ClOH} + \text{H} = \text{ClO} + \text{H}_2$	$6,0 \cdot 10^9$	0	0	[18]
78. $\text{ClOH} + \text{NH} = \text{NOCl} + \text{H}_2$	$1,0 \cdot 10^{10}$	0	0	—
79. $\text{HClO}_4 + \text{NH} = \text{ClO}_3 + \text{N} + \text{H}_2\text{O}$	$1,0 \cdot 10^{11}$	0	11000	—

\* Работы, где константы скоростей отличаются от принятых.

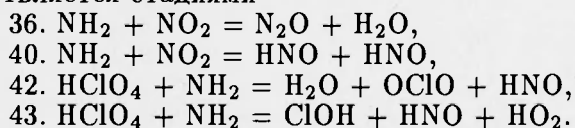
По табл. 2 необходимы следующие замечания. Константа скорости  $k_1$  на 2 порядка меньше приводимой в [3] оценочной величины. Константа  $k_4$  выбрана из условия согласования расчетного и экспериментального профилей  $\text{NH}_3$  в пламени ПХА и в 2 раза больше приводимой в [19]. Уменьшение  $k_4$  в 2 раза слабо влияет на расчетные значения концентрационных профилей в пламени  $\text{NH}_3/\text{HClO}_4/\text{H}_2\text{O}/\text{Ar}$ . Значение  $k_5$  близко к приводимому в [19]:  $k_5 = 6,94 \cdot 10^7 \exp(650/RT)$ .

Оценочные данные [19] по  $k_{12}$  сильно завышены, поскольку расчет константы скорости обратной реакции по константам равновесия и скорости прямой реакции дает предэкспонент, на много порядков выше нормального. Принятое значение выбрано из условия согласования расчетно-

го и экспериментального профилей  $\text{OCIO}$  в пламени  $\text{NH}_3/\text{HClO}_4/\text{H}_2\text{O}/\text{Ag}$ . Литературные данные по  $k_{27}$  отсутствуют. Реакция протекает в сторону образования  $\text{ClOH}$ . Значение константы принято из условия согласования расчетного и экспериментального профилей  $\text{Cl}_2$  в пламени  $\text{NH}_3/\text{HClO}_4/\text{H}_2\text{O}/\text{Ag}$ . Увеличение константы скорости в 100 раз приводит к изменению концентрационных профилей стабильных компонентов на  $\sim 3\%$ .

Значения  $k_{28}$  и  $k_{34}$  приняты из условия согласования расчетных и экспериментальных профилей  $\text{HClO}_4$  и  $\text{OCIO}$  в пламени в смеси  $\text{NH}_3/\text{HClO}_4/\text{H}_2\text{O}/\text{Ag}$ . В [19] приводится  $k_{32} = 7,9 \cdot 10^7 T^{0,5} \exp(-41800/RT)$ . Принятое значение выбрано из условия согласования расчетных и экспериментальных профилей  $\text{N}_2$  и  $\text{NO}_2$  в пламени ПХА. В [12] для низких температур приводится  $k_{36} = 2 \cdot 10^{17} T^{-3}$  и указывается на отсутствие высокотемпературных данных. Высокотемпературные данные по  $k_{38}$  отсутствуют. Рекомендуемое в [12] значение  $k_{38} = 6,3 \cdot 10^8 \exp(-10000/RT)$ . Принятые значения  $k_{36}$  и  $k_{38}$  выбраны из условия согласования расчетного и экспериментального профилей  $\text{N}_2\text{O}$  в пламени ПХА. Данные по константам скоростей реакций 40–45, 47–49, 56, 63, 78, 79 отсутствуют. Принятые значения рассчитаны на основе экспериментальных данных [2, 10].

Как следует из результатов расчета пламени ПХА на основе кинетического механизма [2] (см. рис. 2), при уменьшении скорости расходования  $\text{NH}_2$  по каналу  $\text{NH}_2 + \text{O}_2 \rightarrow \text{HNO} + \text{OH}$  происходит интенсивное производство  $\text{N}_2$  и расходование  $\text{NO}$  по каналу  $\text{NH}_2 + \text{NO} \rightarrow \text{N}_2 + \text{H}_2\text{O}$ . Совпадение расчетных и экспериментальных данных становится неудовлетворительным. При использовании в расчетах кинетического механизма из табл. 2 конкурирующее по отношению к стадиям 21, 51, 53 потребление  $\text{NH}_2$  осуществляется стадиями



Данные по константам скоростей стадий 40, 42, 43 отсутствуют. Согласно [16], константа скорости брутто-реакции  $\text{NH}_2 + \text{NO}_2 \rightarrow$  продукт при 298 К равна  $10^{10} \text{ л/(моль} \cdot \text{с)}$ . Отмечается, что в ходе реакции образуется более 95 %  $\text{N}_2\text{O}$  и  $\text{H}_2\text{O}$ .

В данной работе в качестве возможных каналов протекания реакции  $\text{NH}_2 + \text{NO}_2 \rightarrow$  продукт приняты стадии 36, 40. Включение этих стадий с принятыми константами скоростей в расчетную схему [7, 8] наиболее сильно влияет на профили  $\text{HNO}$  и  $\text{NO}_2$ . Результаты расчета пламени в смеси  $\text{NH}_3/\text{O}_2/\text{Ag}$  на основе экспериментальных данных [5] и кинетического механизма [8] приведены на рис. 3, где кривые 2 получены с учетом стадий 36, 40, а кривые 1 — без их учета. Слабое влияние  $k_{36}$  и  $k_{40}$  на результаты расчета объясняется преимущественным расходом  $\text{NH}_2$  по каналу  $\text{NH}_2 + \text{NO} \rightarrow$  продукт вследствие малого производства  $\text{NO}_2$ . Таким образом, сделать строгое заключение о величинах  $k_{36}$ ,  $k_{40}$  на основе экспериментальных данных [5] затруднительно.

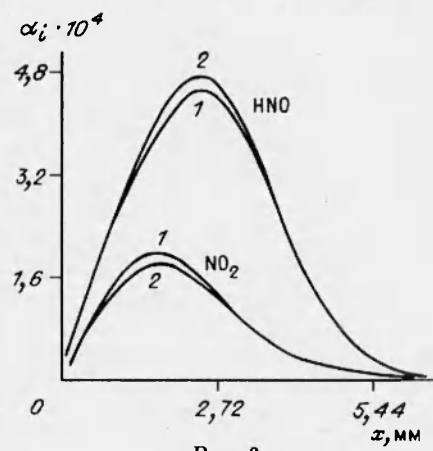


Рис. 3.

### Результаты расчета

**Пламя в смеси  $\text{NH}_3/\text{HClO}_4/\text{H}_2\text{O}/\text{Ar}$ .** Расчетные концентрационные профили (вместе с экспериментальными данными [10]) для кинетического механизма табл. 2 приведены на рис. 4. Значительные теплопотери из пламени в горелку [10] учитываются в расчетах заданием экспериментального температурного профиля [10].

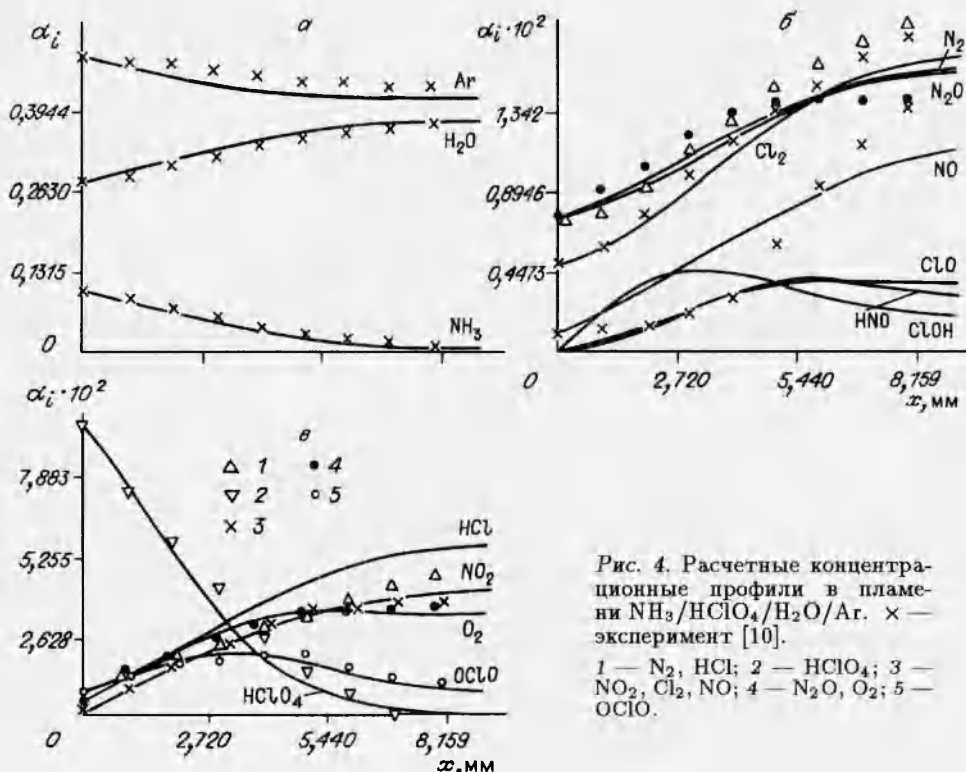


Рис. 4. Расчетные концентрационные профили в пламени  $\text{NH}_3/\text{HClO}_4/\text{H}_2\text{O}/\text{Ar}$ .  $\times$  — эксперимент [10].

1 —  $\text{N}_2, \text{HCl}$ ; 2 —  $\text{HClO}_4$ ; 3 —  $\text{NO}_2, \text{Cl}_2, \text{NO}$ ; 4 —  $\text{N}_2\text{O}, \text{O}_2$ ; 5 —  $\text{OCLO}$ .

До настоящего времени не изучен механизм разложения двуокиси хлора, являющейся одним из основных продуктов в исследуемых пламенах. В известном цепном механизме [20] одной из ведущих является стадия 46 ( $\text{OCLO} + \text{OCLO} = \text{ClO}_3 + \text{ClO}$ ). Термический распад газообразной двуокиси хлора исследован в [21] при 295–328 К и давлении 40–150 Торр. На основе косвенных экспериментальных измерений установлено, что реакция разложения  $\text{OCLO}$  идет по второму порядку с константой скорости  $1,8 \cdot 10^{10} \exp(-18000/RT)$ . Суммарная скорость распада в указанных условиях, согласно [20], определяется константой скорости 46-й стадии. Другим возможным каналом расходования  $\text{OCLO}$  является реакция 12 ( $\text{Cl} + \text{O}_2 + \text{M} = \text{OCLO} + \text{M}$ ), однако константа ее скорости малоизучена. В нашем случае оценка  $k_{12}$  и  $k_{46}$  осложнена протеканием реакции 2 ( $\text{OCLO} + \text{NO} = \text{ClO} + \text{NO}_2$ ) — одной из основных в исследуемых пламенах [2, 10].

На рис. 5, а приведены расчетные профили  $\text{OCLO}$  при вариации  $k_{12}$  и  $k_{46} = 0$ . Здесь точки — экспериментальные данные, кривым 1–4 соответствуют константы  $k_{12}$  —  $(4 \cdot 10^3; 8 \cdot 10^3; 1,6 \cdot 10^4) \exp(-5200/RT)$ ;  $4,4 \cdot 10^5 \exp(-11200/RT)$ . Значения  $k_{12}$  для кривых 2 и 4 совпадают при  $T = 739$  К — температуре смеси у поверхности горелки. Согласно данным, представленным на рис. 5, хорошее совпадение расчетного и экспериментального профилей  $\text{OCLO}$  получается при  $k_{12} = 8 \cdot 10^3 \exp(-5200/RT)$ . На рис. 5, б приведены расчетные профили  $\text{OCLO}$  в зависимости от вариации предэкспоненты  $A_{46}$  при  $k_{12} = 0$ ; кривым 1–4 соответствуют величины

$A_{46} = 1,8 \cdot 10^{10}, 6 \cdot 10^{10}, 1,8 \cdot 10^{11}, 3,6 \cdot 10^{11}$ . Для лучшего согласования с экспериментом при исключении стадии 12 в исследуемом пламени принято  $A_{41} = 2 \cdot 10^9$ . Хорошее совпадение с экспериментом достигается при  $A_{46} = 1,8 \cdot 10^{11}$  для кривой 3, которая также получается при  $A_{46} = 1,8 \cdot 10^{10}, k_2 = 4 \cdot 10^8$ . Однако в этом случае реакция 46 не влияет на расход двуокиси хлора, а расхождение расчетных и экспериментальных данных по NO и N<sub>2</sub> увеличивается. При  $A_{46} = 1,8 \cdot 10^{11}$  совпадение расчетных и экспериментальных данных оказывается лучше, чем на рис. 4.

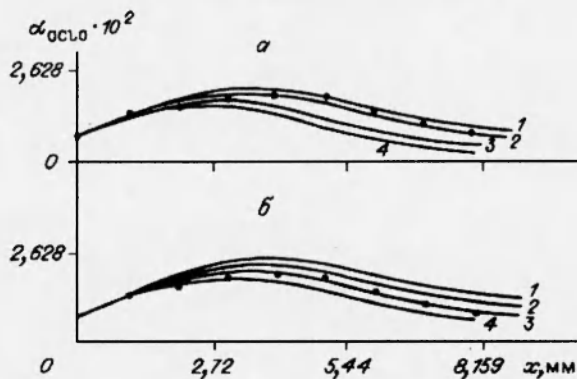


Рис. 5.

При вариации  $k_{40}$  наибольшее изменение претерпевает профиль NO. Отношение расчетного и экспериментального значений концентрации NO достигает максимума на правой границе расчетной области и составляет 0,42, 0,63 и 0,8 при  $k_{40} = 10^9, 2,5 \cdot 10^9$  и  $5 \cdot 10^9$  соответственно. Приемлемым в этом случае оказывается значение  $k_{40} = 5 \cdot 10^9$ . В целом в расчете наблюдается слабая чувствительность концентрационных профилей NH<sub>3</sub>, HClO<sub>4</sub>, H<sub>2</sub>O, Ag к вариации констант скоростей малоизученных стадий.

**Пламя ПХА.** Результаты расчета химической структуры пламени и экспериментальные данные [2, 9] представлены на рис. 6. Для лучшего согласования расчетных и экспериментальных профилей изменены предэкспоненты некоторых стадий:

$$\begin{aligned} A_2 &= 4 \cdot 10^8, \quad A_7 = 1,4 \cdot 10^{10}, \quad A_{12} = 1,6 \cdot 10^4, \quad A_{23} = 10^9, \\ A_{28} &= 3,5 \cdot 10^{10}, \quad A_{41} = 2 \cdot 10^9. \end{aligned} \quad (1)$$

Кривая 1 на рис. 7 — расчетный температурный профиль, точки — экспериментальные данные, полученные в [9] в результате тщательной обработки термопарных измерений. В отличие от [2], в настоящей работе не пытались улучшить совпадение расчетных и экспериментальных данных за счет корреляции коэффициентов чувствительности [9], используемых при пересчете экспериментально замеренных интенсивностей пиков масс в концентрационные профили, а также вида граничных условий на правой границе расчетной области. Поэтому наблюдается большее отличие расчетных данных от экспериментальных по сравнению с [2]. Условия экстраполяционного типа на правой границе расчетной области, используемые в настоящих расчетах (в отличие от [2], где на правой границе заданы экспериментальные данные), позволяют сделать более строгие заключения о кинетике процесса. На рис. 7 показано влияние вариации константы скорости  $k_{40}$  на результаты расчета. Близкий к экспериментальному расчетный температурный профиль получается при  $k_{40} = 2,5 \cdot 10^9$ . Таким образом, в обоих пламенах реакция разветвления цепи 40 играет важную роль.

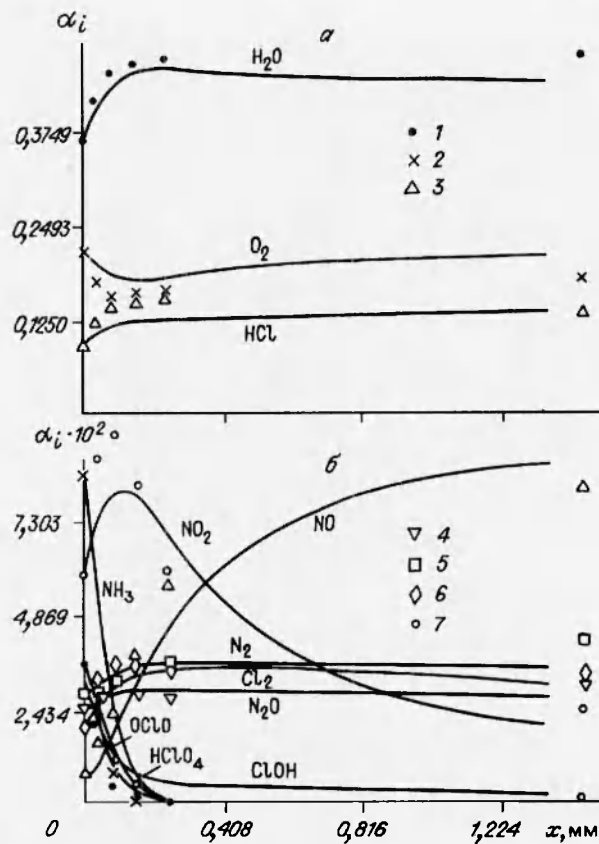


Рис. 6. Расчетные концентрационные профили в пламени ПХА.  
1 —  $\text{H}_2\text{O}$ ,  $\text{HClO}_4$ ,  $\text{OCLO}$ ; 2 —  $\text{O}_2$ ,  $\text{NH}_3$ ; 3 —  $\text{NO}$ ,  $\text{HCl}$ ; 4 —  $\text{N}_2\text{O}$ ; 5 —  $\text{N}_2$ ; 6 —  $\text{Cl}_2$ , 7 —  $\text{NO}_2$ ,  $\text{ClOH}$ .

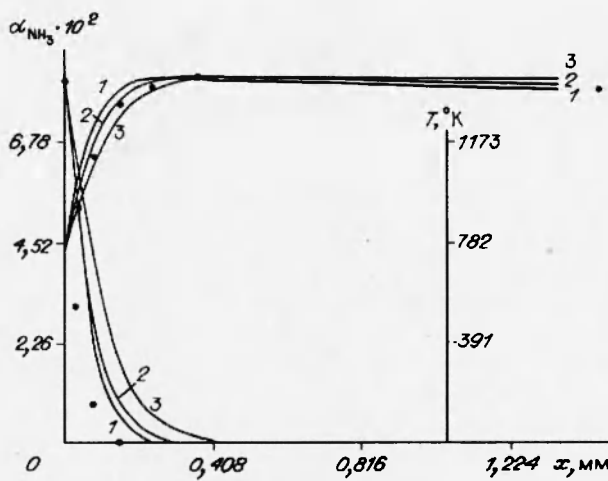


Рис. 7. Расчетные температурные и концентрационные профили в пламени ПХА.  
1–3 — расчетные кривые при  $k_{40} = 5 \cdot 10^9$ ,  $2,5 \cdot 10^9$ ,  $10^9$  соответственно; • — эксперимент [9].

На рис. 8,а, согласно двум каналам разложения двуокиси хлора, представлены результаты расчетов в зависимости от величины  $k_{12}$  при  $k_{46} = 0$ . Значения  $k_{12}$  для первой и четвертой кривых совпадают при температуре поверхности горения  $T = 773$  К. На рис. 8,б предstawлены кривые для

$K_{12} = 0$  и двух значений  $A_{46}$ . Для более полного согласования расчета с экспериментом принято  $A_{41} = 10^9$ . Хорошее согласование с экспериментом получается при  $A_{12} = 1,6 \cdot 10^4$  и  $A_{46} = 3,6 \cdot 10^{11}$ .

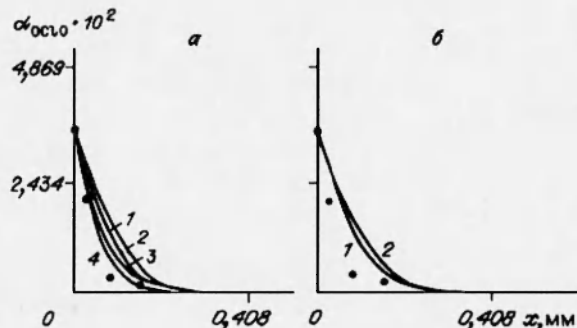


Рис. 8. Расчетный концентрационный профиль ОСlO в пламени ПХА:

а) 1-4 — расчет с  $k_{12} = (1,6 \cdot 10^4; 8 \cdot 10^3; 3,2 \cdot 10^4)$   $\exp(-5200/RT); 7,44 \cdot 10^5$   $\exp(-11200/RT)$  соответственно; б) 1, 2 расчет с  $A_{46} = 3,6 \cdot 10^{11}, 9 \cdot 10^{10}$  соответственно; • — эксперимент [2].

Таким образом, для экспериментальных данных [2, 9] и [10] получены два набора констант, представленные в табл. 2 и соотношениями (1). Полученное различие констант скоростей в 2-4 раза не противоречит современному уровню знаний о кинетических процессах. Тем не менее обсудим возможность описания химической структуры пламен [2, 9] и [10] единственным набором констант. На рис. 9 для  $k_{12} = 0$  и двух наборов констант приведены экспериментальный и расчетный температурные профили. Кривая 2 соответствует константам, взятым из табл. 2 (но, согласно предыдущему,  $A_{46} = 1,8 \cdot 10^{11}$ ,  $A_{41} = 2 \cdot 10^9$ ), а кривая 1 — среднегеометрическим значениям констант, определенным по табл. 2 и соотношениями (1) ( $A_{46} = 2,52 \cdot 10^{11}$  и  $A_{41} = 1,4 \cdot 10^9$  в этом случае). Для обоих наборов констант расчетные температурные профили хорошо согласуются с экспериментальным [9], концентрационные — несколько шире, чем для данных соотношений (1).

Согласно рис. 7, экспериментальному температурному профилю [9] должна соответствовать более широкая, чем в эксперименте, зона реагирования NH<sub>3</sub> и HClO<sub>4</sub>. По-видимому, нарушение подобия между экспериментально определенными температурным и концентрационными профилями NH<sub>3</sub> и HClO<sub>4</sub> связано с погрешностями экспериментальных данных [2, 9]. На это указывают также отсутствие прямых экспериментальных измерений концентрации HClO<sub>4</sub> в [2, 9] и результаты анализа экспериментальных данных на правой границе расчетной области. Задание на правой границе расчетной области экспериментальных значений концентраций и условия экстраполяционного типа для температуры приводят к увеличению температуры на границе на  $\sim 250$  К по сравнению с экспериментальной. Это соответствует, согласно [2],  $\sim 10\%$ -й ошибке в определении мольной доли H<sub>2</sub>O.

Отмеченные недостатки отсутствуют в экспериментальных данных [10]. Реакционная зона в пламени в смеси NH<sub>3</sub>/HClO<sub>4</sub>/H<sub>2</sub>O/Ar в 40 раз

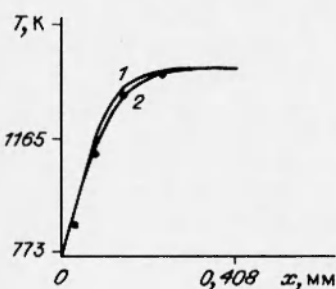


Рис. 9.

превышает реакционную зону в пламени ПХА [2, 9], что при сопоставимых размерах зондов, используемых в массспектрометрических исследованиях [2, 9, 10], делает экспериментальные данные [10] предпочтительнее для оценки констант скоростей. Следовательно, константы из табл. 2 представляются более обоснованными и могут быть использованы для описания химических процессов в пламенах хлорной кислоты с аммиаком. Из-за отсутствия экспериментальных данных по атомам и радикалам и слабой чувствительности профилей стабильных компонентов к вариации констант более строгая оценка констант скоростей затруднительна.

Минимизация кинетического механизма эффективно осуществляется по методике [1], разработанной для количественного анализа сложных химических процессов. Отбор стадий и компонентов осуществляется с помощью параметров  $\varepsilon$  и  $\delta$ , где  $\varepsilon$  — величина относительного производства (расхода) компонентов,  $\delta$  — величина относительного вклада стадии в производство (расход) компонентов. Так, при учете компонентов с  $\varepsilon > 0,01$  для пламени ПХА и  $\varepsilon > 0,001$  для пламени в смеси  $\text{NH}_3/\text{HClO}_4/\text{H}_2\text{O}/\text{Ar}$  исключаются частицы  $\text{NH}$ ,  $\text{N}$ ,  $\text{N}_2\text{H}_2$ ,  $\text{H}_2$ ,  $\text{H}_2\text{O}_2$ . Результаты расчетов по усеченному кинетическому механизму с числом стадий  $L = 56$  и числом компонент  $N = 24$  для стабильных компонентов и температуры совпадают с аналогичными, полученными по полному, приведенному в табл. 2. Учет стадий с  $\delta \geq 0,1$  позволяет дополнительно исключить реакции 13, 16, 24, 27, 29, 43. В этом случае для пламени ПХА результаты расчетов с точностью до 1–2 % совпадают с аналогичными, полученными по полному механизму. Для пламени в смеси  $\text{NH}_3/\text{HClO}_4/\text{H}_2\text{O}/\text{Ar}$  наибольшее расхождение получается для  $\text{NO}$ . Расчетные значения концентрации  $\text{NO}$ , полученные на основе усеченного механизма, оказываются меньше расчетных значений, полученных на основе полного механизма. Различие не превышает 6 %. Учет стадий с  $\delta \geq 0,2$  позволяет исключить дополнительно реакции 9, 17, 32, 44. В этом случае максимальное расхождение расчетных значений концентраций, полученных для пламени ПХА, получается для компоненты  $\text{NO}_2$  и не превышает 4 %. Различие расчетных значений, полученных для пламени в смеси  $\text{NH}_3/\text{HClO}_4/\text{H}_2\text{O}/\text{Ar}$ , не увеличивается. При учете компонентов с  $\varepsilon > 0,04$  для пламени ПХА и  $\varepsilon > 0,002$  для пламени в смеси  $\text{NH}_3/\text{HClO}_4/\text{H}_2\text{O}/\text{Ar}$  исключаются частицы  $\text{H}$ ,  $\text{N}_2\text{H}$ ,  $\text{ClOO}$ ,  $\text{NH}$ ,  $\text{N}$ ,  $\text{N}_2\text{H}_2$ ,  $\text{H}_2$ ,  $\text{H}_2\text{O}_2$ . Полученный кинетический механизм с  $L = 49$ ,  $N = 21$  достаточно точно аппроксимирует полный: наибольшее расхождение расчетных значений получается для  $\text{NO}$  и не превышает 7 % в пламени ПХА и 15 % в пламени в смеси  $\text{NH}_3/\text{HClO}_4/\text{H}_2\text{O}/\text{Ar}$ . Температурные профили, а также большинство профилей стабильных компонентов совпадают с точностью до 1–2 %. Дальнейшее упрощение механизма, представляемое интересом для технических приложений, возможно путем допустимой вариации констант скоростей и нижних границ для  $\varepsilon$  и  $\delta$ .

#### ЛИТЕРАТУРА

1. Ермолин Н. Е., Коробейников О. П., Терещенко А. Г. и др. Расчет кинетики и установление механизма химических реакций в пламени перхлората аммония // Физика горения и взрыва. 1982. Т. 18, № 2. С. 61–70.
2. Ермолин Н. Е., Коробейников О. П., Терещенко А. Г., Фомин В. М. Моделирование кинетики и механизма химических реакций в пламени перхлората аммония // Хим. физика. 1982. № 12. С. 1711–1717.
3. Гайрао С., Вильямс Ф. А. Модель процесса дефлаграции перхлората аммония при давлении 196–981 н/см<sup>2</sup> // Ракет. техника и космонавтика: Пер. журн. AIAA J. 1971. Т. 9, № 7. С. 164–179.
4. Fujii N., Mijama H., Koshi M., Asaba T. Kinetics of ammonia oxidation in shock waves // 18th Symp. (Int.) on Combustion, Waterloo, Canada, Aug. 1980. Pittsburgh: Combust. Inst. 1981. P. 873–882.

5. **Bian J., Vandooren J., Van Tiggelen P. J.** Experimental study of the structure of an ammonia-oxygen flame // 21st Symp. (Int.) on Combustion, Munich, West Germany, Aug. 1986. Pittsburgh: Combust. Inst. 1986. P. 953–963.
6. **Bozzelli J. W., Dean A. M.** Energized complex quantum Rice-Ramsperger-Kassel analysis in reactions of  $\text{NH}_2$  with  $\text{HO}_2$ ,  $\text{O}_2$  and O atoms // J. Phys. Chem. 1989. V. 93, N 3. P. 1058–1065.
7. **Ермолин Н. Е., Коробейников О. П., Фомин В. М.** О кинетическом механизме реакции  $\text{NH}_2$  с  $\text{O}_2$  в пламенах, содержащих элементы O, H, N. I. Кинетические параметры реакции  $\text{NH}_2 + \text{O}_2 = \text{HNO} + \text{OH}$  // Физика горения и взрыва. 1994. Т. 30, № 1. С. 60–65.
8. **Ермолин Н. Е., Коробейников О. П., Фомин В. М.** Кинетический механизм реакции  $\text{NH}_2$  с  $\text{O}_2$  в пламенах, содержащих элементы O, H, N. II. Оценка кинетических параметров стадий с участием частиц  $\text{NH}_2\text{O}_2$ ,  $\text{HNOON}$ ,  $\text{NH}_2\text{O}$  // Физика горения и взрыва. 1994. Т. 30, № 4. С. 60–65.
9. **Терещенко А. Г.** Разработка методики масс-спектрометрического зондирования пламен конденсированных систем и ее применение для изучения химической структуры пламени перхлората аммония и модельных систем на его основе: Дис. ... канд. физ.-мат. наук. Новосибирск, 1991.
10. **Коробейников О. П., Орлов В. Н.** Структура плоского пламени хлорной кислоты в смеси с аммиаком и кинетика элементарных химических реакций в пламени // Хим. физика. 1983. № 11. С. 1585–1590.
11. **Miller J. A., Bowman C. T.** Mechanism and modeling of nitrogen chemistry in combustion // Progr. Energy Combust. Sci. 1989. V. 15, N 4. P. 287–338.
12. **Химия горения /** Под ред. У. Гардинера. М.: Мир, 1988.
13. **Hatch R. L.** Chemical kinetics combustion model of the NG/Binder System // 23rd JANNAF Combustion Meeting, 1986. V. 1. P. 157–165.
14. **Ермолин Н. Е., Коробейников О. П., Куйбida Л. В., Фомин В. М.** Исследование кинетики и механизма химических реакций в пламени гексогена // Физика горения и взрыва. 1986. Т. 22, № 5. С. 54–64.
15. **Salimian S., Hanson R. K., Kruger C. H.** Ammonia oxidation in shock-heated  $\text{NH}_3\text{-N}_2\text{O-Ar}$  mixtures // Combust. Flame. 1984. V. 56, N 1. P. 83–95.
16. **De More W. B., Sander S. P., Golden D. M., et. al.** Chemical kinetics and photochemical data for use in stratospheric modeling // JPL Publication 90-1. Pasadena. CA. 1990. P. 1–217.
17. **Chang W. D., Karra S. B., Senkan S. M.** A computational study of chlorine inhibition of CO flames // Combust. Flame. 1987. V. 69, N 1. P. 113–122.
18. **Jensen D. E., Jones G. A.** Reaction rate coefficients for flame calculations // Combust. Flame. 1978. V. 32, N 1. P. 1–34.
19. **Кондратьев В. Н.** Константы скорости газофазных реакций. М.: Наука, 1970.
20. **Грицан В. И., Панфилов В. Н.** Определение стационарной скорости термического распада газообразной двуокиси хлора // Кинетика и катализ. 1975. Т. 16, № 2. С. 316–319.
21. **McHale E. T., G. von Elbe.** The explosive decomposition of chlorine dioxide // J. Phys. Chem. 1968. V. 72, N 6. P. 1849–1856.

Поступила в редакцию 11/X 1994 г.,  
в окончательном варианте — 28/XII 1994 г.